

高等学校教学用书

內燃機車

总体与机械部分

鐵道部教材編輯組選編

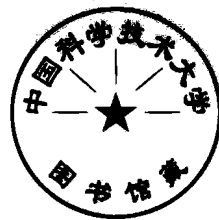
人民鐵道出版社

高等学校教学用书

内燃机車

总体与机械部分

铁道部教材编辑组选编



人民铁道出版社

一九六一年·北京

本書系根据1960年铁道部文教局制訂的“内燃机車总体与机械部分”教学大綱編写的。

本書內容共包括五篇。第一篇是總論，简单叙述了机車的基本构造及其参数的确定；第二、三篇中，主要叙述机車走行部分、車架及車体的构造，并叙述了主要零、部件的强度計算；第四篇是叙述輔助裝置的构造及作用；第五篇是介紹机車总体的設計原則及其布置方案。最后，在附篇中对煤气内燃机車及燃气輪机車也加以简单的介紹。

本書作为内燃机車专业教学用書，亦可供鐵路工程技术人员学习和参考之用。

本書系由唐山鐵道学院主編，上海交通大学協編。

高等学校教学用書
内 燃 机 車
总体与机械部分
铁道部教材編輯組选編
人民铁道出版社出版
(北京市霞公府17号)

北京市书刊出版业营业許可証出字第010号

新华书店科技发行所发行

各地新华书店經售

人民铁道出版社印刷厂印

书号1816 开本787×1092_{1/16} 印张12₃/₄ 字数360千

1961年9月第1版

1961年9月第1版第1次印刷

印数 0,001—750 册 定价 (10) 1.70元

目 录

第一篇 总 論

第一章 内燃机車的优越性及其发展	1
§ 1. 内燃机車的优越性	1
§ 2. 内燃机車发展簡史及現况	2
第二章 内燃机車基本构造与分类	2
§ 1. 内燃机車基本构造	2
§ 2. 内燃机車的分类	3
第三章 内燃机車主要参数	5
§ 1. 列車阻力	5
§ 2. 机車輪周牵引力、粘着系数	6
§ 3. 内燃机車主要参数的确定	7

第二篇 机車走行部分

第一章 走行部分的构造作用	11
§ 1. 机車走行部分的任务与組成	11
§ 2. 轉向架的分类	11
§ 3. 普通轉向架构造作用示例	12
§ 4. 轉向架构架的构造	13
§ 5. 輪对	15
§ 6. 軸箱	19
§ 7. 軸箱定位形式	22
§ 8. 心盘与旁承	26
§ 9. 舂簧装置	31
§ 10. 舮簧装置与心盘旁承的关系	41
§ 11. 橫动装置	42
§ 12. 基础制动装置	49
§ 13. 液压減振器	54
§ 14. 橡皮元件的設計計算	57
§ 15. 傳动机构	68
第二章 机車振动	78
§ 1. 引起机車振动的原因和机車的振动形式	79
§ 2. 无阻尼的車輪荷重系統的自振	79
§ 3. 采用钢板或干摩擦的車輪荷重系統的振动	80
§ 4. 具有液压減振器的車輪荷重系統的振动	83
§ 5. 机車在两系弹簧上的浮沉振动	86
§ 6. 机車在两系弹簧上的点头振动	88
§ 7. 机車的伸縮振动	90
§ 8. 輪对和轉向架的蛇行运动	91
§ 9. 机車車体的滚动和移摆	93
§ 10. 机車車体的摇头	95
§ 11. 改善机車水平振动的措施	95
§ 12. 机車的动力作用及运行品质	96
第三章 曲线通过	98

§ 1. 曲線几何通过	98
§ 2. 曲線动力通过	105
第四章 转向架设计及车轴强度计算	111
§ 1. 转向架构架的設計原則	111
§ 2. 构架材料技术条件	111
§ 3. 转向架构架的强度計算	111
§ 4. 车轴强度計算	135
§ 5. 几种转向架的简介	139
第三篇 机車車架与車体	
第一章 机車車架	145
§ 1. 机車車架基本构造	145
§ 2. 机車車架强度計算	146
第二章 机車車体	149
§ 1. 机車車体基本构造	149
§ 2. 机車車体的强度計算	151
§ 3. 机車車体的隔热、隔音和防腐	154
§ 4. 車钩缓冲器	156
§ 5. 机車車体流线化	159
第四篇 輔助裝置	
第一章 輔助系統	161
§ 1. 潤滑油系統	161
§ 2. 燃料系統	163
§ 3. 水系統	165
第二章 散热器及冷却风扇	168
§ 1. 散热器	168
§ 2. 冷却风扇	170
第五篇 机車 总 体	
第一章 总 述	174
§ 1. 机械傳动、液力傳动及电傳动內燃机車的比較	174
§ 2. 內燃机車設計原則及步驟	175
§ 3. 內燃机車总体布置	177
§ 4. 內燃机車机器室的通风和旅客列車的采暖	181
第二章 介绍几种型式的內燃机車	182
§ 1. 介绍苏联 TЭ3 型电傳动內燃机車及其改进情况	182
§ 2. 介绍苏联TЭ10、TЭ50和TЭП60 电傳动內燃机車	184
§ 3. 介绍苏联 ТГ102 液力傳动內燃机車	185
附 篇 煤气內燃机車及燃气輪机車的介绍	
I、煤气內燃机車的介绍	187
§ 1. 固体燃料在內燃机車中的应用	187
§ 2. 煤气內燃机車装置及其試驗結果	188
II、燃气輪机車的介绍	190
§ 1. 燃气輪机車主要特性	190
§ 2. 燃气輪机車裝置概述	193
§ 3. 自由活塞燃气发生器燃气輪机車	195
§ 4. 燃燒固体燃料的燃气輪机車	200

第一篇 总 論

第一章 內燃机車的优越性及其发展

§ 1. 內燃机車的优越性

現代鐵路上使用的牽引動力主要有三种：蒸汽機車、內燃機車和電力機車。

蒸汽機車的应用已經有一百多年的历史，它从問世以来，对社会发展起了巨大的作用。由于在結構上进行了不断的改进，它已經成为一种成熟的牽引動力。其优点是构造簡單，制造成本低，适用于煤藏丰富的国家和地区。其主要缺点是經濟性太低，特別是同新型牽引動力——內燃機車和電力機車相比，这一缺点就更显得突出，而必然代之以新型牽引動力。

電力機車与蒸汽機車相比有許多优点，其中主要的优点是：

首先電力機車的热效率可达 $15\sim 18\%$ （利用水力发电的電力機車效率可达 60% 左右）。在电气化的鐵路上燃料消耗可降低 $\frac{1}{2}\sim \frac{2}{3}$ ，而且在热电站里还可以利用低質燃料，为国家节省大量燃料。

其次是使用電力牽引时，鐵路的运输能力一般要比蒸汽牽引高 0.5 倍以上，特別在坡道比較大的線路上，電力牽引的运输能力更高。

再是与蒸汽牽引相比，電力牽引的营运費用，包括机务部門和电力部門在內，可減少 50% 左右。在貨运繁忙的線路上，電力牽引每总吨公里的成本比蒸汽牽引低 $20\sim 25\%$ 。

最后是在電力機車上，乘務人員的劳动条件要比蒸汽機車好得多。

但是，采用電力牽引时也存在着一定的缺点和問題，主要是电气化鐵路需要有大型热力或水力发电站和接触网，在基本建設方面需要更多的劳力、資金和有色金属。

內燃機車与蒸汽機車相比也有許多显著的优点，而与電力機車相比，则各有其所长。使用內燃機車的优点：（1）內燃機車的热效率可达 $24\sim 30\%$ ，在各类機車中其效率最高的；（2）內燃機車整备距离长，在修時間少，因而运用效率高；（3）內燃機車的单位馬力自重小，用于牽引的功率增多；（4）內燃機車整备設備简单，維修費用少，同时內燃機車可以多机牽引、集中操纵，因此可以减少乘務人員等。

表 I - 1

各种機車若干指标的比較

指 标 标	蒸 汽 机 車	內 燃 机 車	电 力 机 車
效 率	5~7%	24~30%	15~18%
水 耗 量	100%	0.05%	—
对 線 路 的 作 用	100%	80%	80%
加 燃 料 間 距 离 (公 里)	150~200	800~1200	—
加 水 間 距 离 (公 里)	70~100	1500~2000	—
修 理 費	100%	80%	50%
制 造 費	100%	250~300%	200~240%
鐵 路 投 資 費	100%	140%	300%
活 动 范 围	有某些限制(煤水设备)	不受限制	有 限 制

綜合以上各點可見，使用內燃機車的經濟性是十分顯著的。根據蘇聯的經驗，使用內燃機車時機務費用可節省50~60%，鐵路運營費用可節省25%左右。

現將各種機車若干指標的比較列于表 I-1 中，以供參考。

§ 2. 內燃機車發展簡史及現況

很早以前人們就試圖把內燃機用作鐵路的牽引動力，但是由於內燃機的特性不能直接滿足機車牽引特性的要求，傳動裝置的問題長期未能解決，因而，內燃機車未能早日獲得發展。直到1924年，蘇聯首先試制成功了世界上第一台內燃機車（ $\text{Щ}^{\text{Э}}\text{I}$ 型）。這台 $\text{Щ}^{\text{Э}}\text{I}$ 型機車具有電機單獨驅動的十條動軸，發動機額定功率1000馬力，重180噸。雖然這台機車笨重，但為後來實際採用電傳動的內燃機車打下良好的基礎。

大約與 $\text{Щ}^{\text{Э}}\text{I}$ 型內燃機車同時，蘇聯還製造兩台內燃機車，其中一台是 $\text{Э}^{\text{М}}\text{I}$ -2型電傳動內燃機車；另一台是 $\text{Э}^{\text{М}}\text{I}$ -3型機械傳動內燃機車。根據 $\text{Э}^{\text{М}}\text{I}$ -2型內燃機車試用的結果表明，電傳動內燃機車優點很多，於是決定成批製造，並以1931年格洛綿工廠製造的 $\text{Э}^{\text{М}}\text{I}$ -9型內燃機車（軸式為2—5—1、功率為1200馬力），作為主型貨運內燃機車。

蘇聯在衛國戰爭以後生產了TЭ1型內燃機車（軸式3。-3。、電傳動、1000馬力、重121噸）。1946年生產了TЭ2型內燃機車〔軸式2(2。-2。)、電傳動、2000馬力、重174噸〕。1953年生產了TЭ3型內燃機車〔軸式2(3。-3。)、電傳動、4000馬力、重252噸〕。最近蘇聯又進行了TЭ3內燃機車的改造工作，並且成功地製造了一批新型內燃機車：單節3000馬力電傳動的貨運內燃機車TЭ10、TЭ50和單節3000馬力客運內燃機車TЭ160。

蘇聯已經從1956年起停止蒸汽機車的生產，到1960年底，蘇聯鐵路已有 $\frac{1}{2}$ 左右的運量是由電力機車與內燃機車擔任牽引。根據七年計劃的規定，到1965年時，電力機車和內燃機車牽引的線路總長度將達10萬公里，擔任總貨運量的85~87%，其中內燃牽引與電力牽引各占一半。

關於我國機車的發展，在解放以前，鐵路工廠只能進行一些修修配配工作，根本談不上機車的製造。解放後，隨著工農業的日益發展，要求鐵路完成越來越大的運量，要求在建築新線的同時，對整個鐵路部門逐步進行技術改造。而牽引動力的技術改造又是整個鐵路部門技術改造中帶有關鍵性的一環。在黨的領導和總路線的光輝照耀下，我國機車製造業有了飛躍的發展，不但自己能夠製造新型蒸汽機車，而且在1958年大躍進以後，在蒸汽機車製造工廠、甚至在修理工廠的技術基礎上，製造出內燃機車和電力機車。從此，開始了我國牽引動力技術革命的序幕。

我們相信，在黨的重視與領導下，內燃機車在我國鐵路上的運用，將隨石油工業和機械製造工業的發展而得到迅速的發展。

第二章 內燃機車基本構造與分類

§ 1. 內燃機車基本構造

內燃機車一般是指柴油機車，內燃機車由五個基本部分組成（參閱圖 I-2-1）。

1. 發動機（柴油機）；
2. 從發動機到動軸的傳動裝置；
3. 走行部分；
4. 機車上部結構—車架、車體；
5. 幫助裝置，用來保證走行部分、發動機和傳動裝置的正常工作。

內燃機車幫助裝置包括下列部分：

- a. 发动机的燃料系統，包括儲存液体燃料的燃料箱、滤清器、燃料泵等；
 - b. 发动机的水冷却系統，包括水泵、冷却器、把空气送过冷却器的风扇、连接水泵和连接风扇的傳动机构；
 - c. 内燃机車的发动机和其他机构的潤滑系統；包括潤滑油箱、滤清器、泵、冷却器；在某些情况下，潤滑油也用来冷却发动机活塞以及用于調节系統的伺服馬达；
 - d. 空气系統，把压缩空气供給制动装置、砂箱、信号装置及操縱设备。这个系統由压气机、储气筒等組成；
 - e. 輔助的电气设备，其中包括輔助发电机、照明系統、用于发动机的电气起动裝置、与电力傳动直接有关的电气设备等。
 - f. 檢查和計量的仪表，用于上面列举的所有輔助装置和发动机与傳动装置，这里包括压力表，轉速表、温度表、电流表、电压表等。
 - g. 操縱设备，它的种类决定于机車上傳动裝置的型式。
- 图 I—2—1 表示内燃机車的示意图。

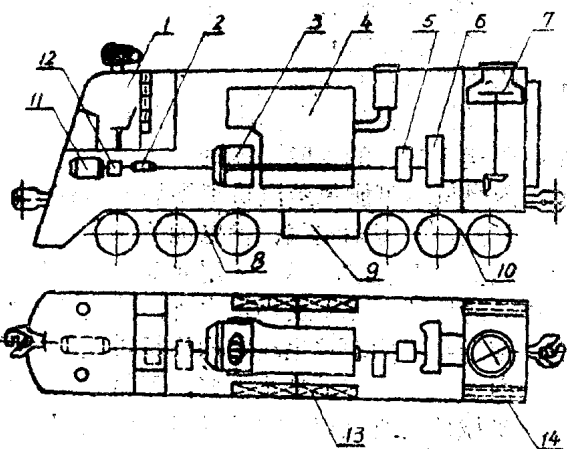


图 I—2—1 内燃机車示意图。

1—司机室；2—轉速發電機；3—主發電機；4—发动机；5—液力變速器；6—空氣壓縮機；7—風扇輪；8—前轉向架；9—燃料箱；10—後轉向架；11—双机机组；12—冷却風扇；13—蓄电池；14—冷却器。

§ 2. 内燃机車的分类

内燃机車可按用途、傳动型式和軸式分类。

(一) 按用途分类

按内燃机車用途可分为：货运机車、客运机車、調車机車、通用机車、小机車；摩托机車、輕内燃車組和重内燃車組。

货运机車的功率(发动机功率)，根据现代各国内燃机車的发展一般是单节为1500—3000马力，构造速度90—120公里/小时。

客运机車的功率与货运机車的相仿，构造速度120—160公里/小时。

通用机車是同时用作为货运及客运的，甚至也用作为調車作业的机車。

小机車用作厂矿机車、森林机車、輕調車机車和土铁路机車，功率为50—300马力，重70—40吨，构造速度30—50公里/小时。

輕内燃車組和重内燃車組用作近郊及短途旅客列車。車組两端一般为动力車輛，其中发动机室和司机室约占小半节車（但也往往将发动机裝在車架底下）。这种車組起动加速快，构造速度一般在100公里/小时以上。輕内燃車組通常由1—3辆車組成；重内燃車組由4—6辆車組成。

調車机車按功率大小可分为以下四种：

种 别	功 率 (马力)	重 量 (吨)	构造速度(公里/小时)	用 途
1	400	40—50		一般 調車用
2	600—700	60—80	50—60	一般 調車用
3	1200	100—120		駛 峰 調車用
4	2000	140		駛 峰 調車用

(二) 按傳动装置分类

首先需要說明，在內燃機車上采用傳動裝置的必要性，我們知道蒸汽機車的蒸汽機是直接與輪對相聯結的。然而內燃機的特性就不允許直接與輪對相聯結。

蒸汽機的負載範圍大，能根據線路縱斷面、運行速度、列車的組成與氣候條件等不同情況而變化，而內燃機就不能象蒸汽機一樣地適應這樣大的範圍內變化的負載，通常內燃機能承受的超載不大於15%。

內燃機只能在一定轉速範圍內工作。若轉速低於其最低轉速時就要熄滅；若最高轉速通常是受運動零件的強度限制的。

內燃機不可能象蒸汽機車鍋爐那樣有儲存能量，為了啟動發動機必須脫開負載，並另設其他能源，如壓縮空氣、蓄電池等。

根據以上所述，必須採用傳動裝置，使內燃機特性適應於牽引用途，並使發動機功率得到充分的發揮，除了發動機之外，傳動裝置的型式決定內燃機車在構造上和運用上的主要特點，傳動裝置的型式也決定內燃機車上輔助裝置的性質。

內燃機車的傳動型式很多，通常採用的有機械傳動，電傳動和液力傳動三種。

機械傳動的機車，在發動機與動軸間有離合器和變速箱，依靠離合器和變速箱可以改變發動機曲軸和動軸間的傳動比。由於起車時離合器需要吸收從動軸與驅動軸的轉速差而產生的大量熱能，故在大機車上採用離合器有困難。所以機械傳動只適用於小機車和輕內燃車組。機械傳動裝置構造簡單，傳動效率高。但有功率利用系數低，變更速度級時牽引力中斷和容易發生衝動等缺點。

在現代內燃機車上，普遍採用的是電傳動。它利用專門的直流發電機和串激式牽引電動機的特性給出平滑的牽引特性，使內燃機功率得到充分利用。它的缺點是：構造複雜、笨重，需要大量的銅、簧下重量大。

液力傳動在大功率的機車上的應用，還是近几年才發展成熟的，現在一套液力傳動裝置的輸入功率最大為1800馬力。液力傳動有構造簡單、輕、簧下重量小、用銅很少（電傳動機車每1000馬力約耗銅5噸，而液力傳動機車只耗數百公斤）等優點。雖然液力傳動在整個運用範圍內的平均效率略低於電傳動的效率。

（三）按軸式分類：

內燃機車分車架式和轉向架式兩類。車架式內燃機車的走行部分相仿於蒸汽機車，轉向架式內燃機車的走行部分與車輛的相仿，車架式機車僅適用於小機車、調車機車，軸數不大於4、構造速度不大於60公里/小時。車架式機車一般用連杆傳動。有構造簡單，不易空轉等優點。

轉向架式機車運用最普遍。轉向架各軸成單獨驅動或成組傳動。轉向架式機車的優點是：便於檢修，機車容易通過曲線，有利於高速運轉。

車架式內燃機車的軸式和蒸汽機車的軸式一樣，例如三動軸機車的標記為0—3₀—0。

轉向架式機車的標記為0—N₀—N₀—0 (N₀—N₀)；N表示轉向架動軸數，小圈表示單獨驅動的軸，例如，單節四動軸電傳動轉向架式機車的標記為2₀—2₀，雙節的標記為2 (2₀—2₀)。

西歐鐵路也以1、2等數碼表示輔助軸數，以A、B、C等字母表示動軸數，但軸式寫法不同。數碼或字母右角上的小撇表示同一轉向架。例如：B' B'表示具有兩個二動軸轉向架的單獨傳動的機車。而B' B'表示具有兩個二動軸轉向架的成組傳動的機車；A₀ 1 A₀表示具有兩個二動軸和一輔助軸的轉向架的單獨傳動的機車。

第三章 內燃机車主要参数

S 1. 列車阻力

列車阻力的概念是了解机車牽引性能的基础，列車阻力的数值能影响到机車所需的功率、能量消耗，并在很大程度上影响运输成本。因此，正确計算列車阻力，并且改进机車車輛的結構，以减少阻力，是一个很有意义的問題。

列車在線路上运行，有基本阻力与附加阻力两部分。

我們首先来研究基本阻力。

設机車以等速牵引列車运行于平直路上，車鉤牵引力为 F ，这时 F 全部用来克服車輛列运行阻力 W_0 ，引起車輛列在平直路上的运行阻力的因素有：軸頸摩擦，車輪滚动摩擦，輪緣摩擦，振动及冲击，以及空气阻力，后者在速度为50公里/小时以上时較为显著。但車在低速时，正面来风，特別是侧面来风也会給列車以很大的空气阻力。

以 W'_0 表示車輛单位基本阻力（公斤/吨），則車輛列的全部基本阻力

$$R_{\text{基}} = F = W'_0 Q$$

式中 Q ——車輛列重量，吨。

机車本身在运行时也遭受阻力。設在平直路上机車的单位基本阻力为 W'_k 公斤/吨，则机車基本阻力

$$W'_k P = F_k - F$$

式中 P ——机車重量，吨；

F_k ——机車輪周牵引力，公斤。

因而在平直路上等速运行时，机車輪周牵引力。

$$F_k = R_{\text{列基}} = W'_0 Q + W'_k P$$

式中 $R_{\text{列基}}$ ——列車基本阻力，公斤。

W'_0 和 W'_k 称为单位基本阻力，决定因素复杂，通常用試驗方法求得，或用經驗公式进行计算。

机車或車輛在線路上以等速运转时，基本阻力的普通式可以写为：

$$R_{\text{基}} = aW + bWV + cV^2 \text{ 公斤}$$

式中 W ——机車或車輛重量 吨；

V ——运行速度 公里/小时；

a ——与滚动摩擦有关的系数；

b ——与輪緣摩擦及机車車輛振动有关的系数；

c ——与风速有关的系数。

由于 bV 值比較小，可以合并入 cV^2 項中，上式往往簡化为：

$$R_{\text{基}} = aW + cV^2 \text{ 公斤}$$

式中 aW 項是与速度无关的阻力， a 的数值大約为2.5~3公斤/吨。 cV^2 項主要是空气阻力，高速时影响最大。 c 的数值根据机車車輛流線化的程度而定，大約为0.017~0.04公斤/吨。

列車在运行中所需要克服的附加阻力，主要是在弯道上和坡道上遭受的曲線阻力与坡道阻力，它們不受速度的影响。

曲線单位阻力为

$$W_{\text{曲線}} = \frac{700}{r} \text{ 公斤/吨}$$

式中 r ——曲線半徑 米

坡道阻力由图 I-3-1 可见，列车重量 Q (吨) 随坡道向下的分力 W_y (吨) 即需要克服坡道阻力。因此单位坡道阻力为

$$W_{坡} = \frac{1000 W_y}{Q} = 1000 \operatorname{tg} \alpha$$

$$\text{而 } \operatorname{tg} \alpha = i\%$$

式中 $i\%$ —— 坡度千分数。

$$\therefore W_{坡} = 1000 \cdot i\% = i \text{ 公斤/吨}$$

列车在运行时需要克服的总阻力为

$$R_{总} = R_{基} + (i + W_{曲綫})(P + Q)$$

可见运行时，列车阻力随线路纵断面及运行速度而变化，因而所需要的牵引力也需要相应变化。

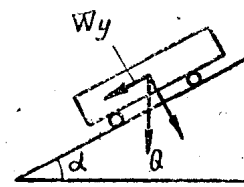


图 I-3-1

§ 2. 机車輪周牽引力、粘着系数

机车动轮借机械转矩 ΔM 回转。如果车轮不与钢轨接触，则 ΔM 只能使车轮回转，而不能使机车移动，如果轮轨接触了，那么 $\Delta M = \Delta F_p R$ 就会引起反作用力 ΔF_p ，其方

向与动轮回转方向相反，是与机车运行方向相同，推动机车及与之联挂的车辆前进(图 I-3-2)。由于 ΔF_p 是反作用力，所以 ΔF_p 的大小随 ΔM 而变，即 $\Delta F_p R = \Delta M$ 。全部动轮在轮轨接触点上产生的反作用力之和谓之机车轮周牵引力。轮轨接触点谓之瞬时转动中心，在某瞬间 A_0 点就是整个车轮的角速度 ω 回转之中心，它使车轮中心以线速度 $V = \omega R$ 移动。因而瞬时转动中心是连续改变的。

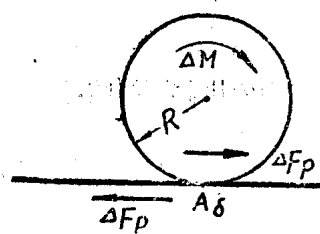


图 I-3-2

如果，作用于车轮的转矩 ΔM 超过了相应于车轮摩擦力的最大值的反作用矩，即 $\Delta M > \Delta F_{p_{max}} R$ ，则发生空转，机车停止移动。

极限值 $\Delta F_{p_{max}}$ 即轮轨间的摩擦力(在机车学中称为粘着力)。对应的机车牵引力称为粘着牵引力 F_{k_c} 。这一牵引力与机车各动轴荷重之和(粘着重量)与计算粘着系数 ψ_k 成正比。

$$F_{k_c} = \sum n \Delta F_{p_{max}} = 1000 \cdot 2n \cdot \Pi \psi_k = 1000 P_k \psi_k$$

式中 n —— 动轴数；

Π —— 动轮荷重；

P_k —— 机车粘着重量；

ψ_k —— 计算粘着系数。

计算粘着系数用试验求得，它具有重大的实际意义，是机车牵引力的一个限制因素。

粘着系数在运行中实际上有很大的变化。粘着系数低速时大，高速时小；轮箍踏面与轨面干燥时大，潮湿或有油泥时小；成组传动机车的大，单独传动机车的小；机车走行部分与机械部分制造精度高的大，制造精度低的小；此外，先进司机善于保养和操纵机车，(如能正确撒砂)也能大大提高粘着系数，从而可以牵引很重的列车而不发生空转。

在设计时，单独传动的内燃机车的粘着系数，可按下列公式计算：

$$\psi_p = 0.25 + \frac{8}{100 + 20V}$$

式中 V —— 机车速度，公里/小时。

用链条、万向轴或齿轮成组传动的内燃机车计算粘着系数可以按 0.333 计。用连杆成组传动时，由于左右两侧曲柄角相差 90° ，传动具有一定程度的不均匀度，计算粘着系数可取为 0.3，在潮湿的路上可相应以 0.266 和 0.24 计。

图 I—3—3 表示 BB 16500 电力机车在直线及半径为 500 米的曲线区段上运行时，当钢轨分别为干燥的、潮湿的，及有油的情况下粘着系数的变化。由图中曲线，可以看出机车一般粘着系数的变化情况。当机车速度由 0~10 公里/小时时，粘着系数急剧下降。到速度为 50~60 公里/小时时，粘着系数趋于平稳。所不同的是，由于这种机车采用了单电机、通过齿轮带动转向架的两根动轴成为成组传动的型式，因此粘着系数较高。在钢轨干燥的最好的情况下，机车速度 40 公里/小时时，粘着系数仍可达到 0.4，其平均值在低速时可达到 0.36。当机车速度为 50 公里/小时时，仍为 0.29。可以说这种成组传动的机车粘着系数，比单独传动的约大 20%。

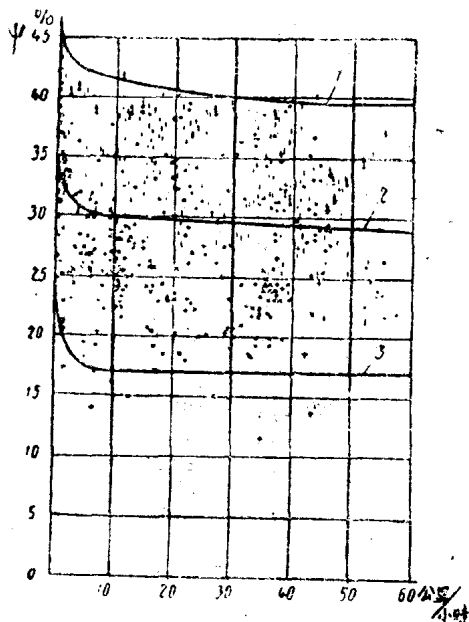


图 I—3—3

§ 3. 内燃机车主要参数的确定

(一) 机车功率

在内燃机车上，机车功率指的是机车发动机额定功率，机车发动机额定功率决定于所需最大机车轮周功率。最大机车轮周功率决定于机车牵引重量（即所需的牵引力）和列车通过限制坡道的速度（计算速度）。可由下式求得

$$N_k = \frac{F_k \cdot v}{75} = \frac{F_k \cdot 1000 V}{3600 \cdot 75} = \frac{F_k \cdot V}{270} \text{ 马力}$$

式中 N_k —— 轮周功率，马力；

F_k —— 轮周牵引力 公斤；

v —— 限制坡道上的计算速度 米/秒；

V —— 限制坡道上的计算速度 公里/小时。

如果机车最大功率可以在全部实用速度范围内得到充分利用，即 $N_{k\max} = \text{常数}$ ，则 F_k 与 V 的关系可以用双曲线来表示，即

$$F_k \times V = \text{常数}.$$

图 I—3—4 表示 T93 内燃机车双节，在不同的坡道上列车重量为 3500 吨时的 F_k 与 V 的关系曲线（接近双曲线）和阻力曲线，由图可以看出列车重量已定时，在不同坡道上所需的牵引力，以及相应的均衡速度。当在平道上时，图示 T93 可以牵引 3500 吨以 11000 公斤的轮周牵引力保持列车速度 70 公里/小时；当在 9.2% 的坡道上能以 43200 公斤的轮周牵引力保持列车速度 20 公里/小时。

由图可见，对指定的机车来说，上面受粘着牵引力 $F_{k\max}$ 的限制，右面受最大功率 $N_{k\max}$ 的限制，最后还受构造速度 V_{\max} 的限制。超过 V_{\max} 时，则为安全运行、曲线通过、机车强度、制动能力所不允许。对于计算速度的最大牵引力就是机车的持续牵引力。

发动机额定功率与机车轮周功率的关系是：

$$N_e = \frac{N_k}{\eta_n \eta_c} = \frac{N_k}{\eta};$$

式中 N_e —— 发动机额定功率；

N_k —— 机车轮周功率；

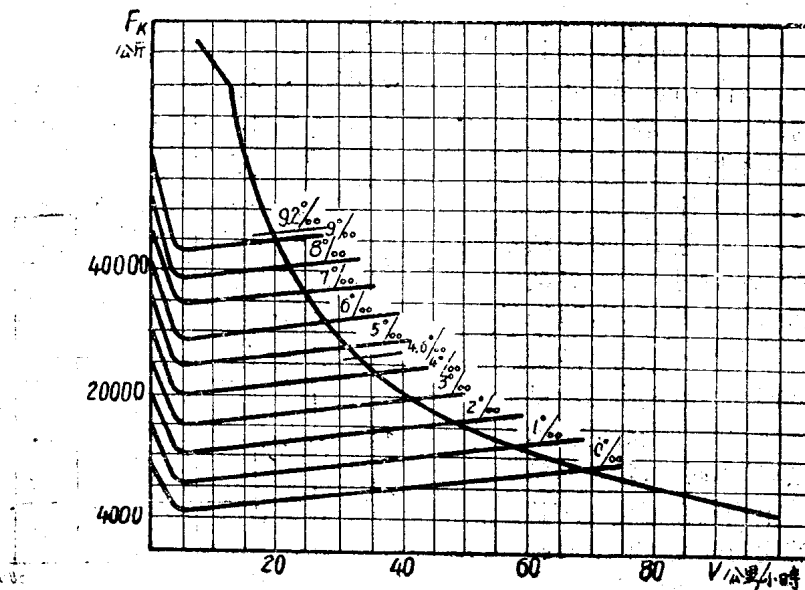


图 I-3-4

η_n ——对应持续牵引力的传动效率。电传动约为0.83；液力传动约为0.8；机械传动约为0.88；

η_a ——考虑辅助装置所耗功率的系数，可取为0.9；

η —— $\eta_n \cdot \eta_a \cdots \cdots$ 合成效率，电传动约为0.75；液力传动约为0.72；机械传动约为0.79。

(二) 机車速度

机車速度是根据线路状况及牵引列车重量而变化的数值，在说明机車性能时是指机車构造速度 V_{max} 和计算速度 V_p 而言。

机車构造速度是机車設計时已定的最大速度 (T93型内燃机車 $V_{max}=100$ 公里/小时)。根据机車构造速度，以及牵引电动机或变扭箱出力軸的轉速，設計制造机車传动装置的速度比，据以进行行走部分有关零部件的强度計算；校驗曲綫安全通过；設計制造机車基础制动装置。

机車计算速度是指机車牵引列车时在计算坡道上所规定的通过速度 (T93在9.2%的计算坡道上 $V_p=20$ 公里/小时)

规定计算速度 V_p 是一个复杂的問題，它决定于机車用途、线路情况、运输任务和运输经济。 V_p 应随国民经济的发展和机車功率的增大而不断提高。目前， V_p 值大致为：

小机車	调車机車	货运机車	客运机車
5—8	10	18—25	30—50

在以计算速度通过计算坡道时的最大轮周牵引力，称为持续牵引力 $F_{p\max}$ (T93型内燃机車的 $F_{p\max}$ 是根据持续电流决定的，两节机車持续牵引力 $F_p=43200$ 公斤)。

(三) 机車重量

机車重量决定于一个国家机車制造水平，也决定于机車所需要发挥的持续牵引力。持续牵引力在电传动内燃机車上受电机发热的限制，在液力传动内燃机車上受传动油温的限制。

在内燃机車上，持续牵引力一般较粘着牵引力小很多，以便于起动时在较短的时间內充分利用发动机功率，加速列车起动。通常取相应于持续牵引力的“粘着系数” $\mu_1=0.2\sim0.25$ 来计算所需机車粘着重量。

所需机車粘着重量：

$$P = \frac{F_p}{1000\psi'_p}$$

式中 F_p —— 持續牽引力，公斤；

ψ'_p —— 相應于持續牽引力所取的“粘着系數”。

現代內燃機車一般沒有輔助軸，機車粘着重量就是機車重量（T93型內燃機車重量單節為126噸）。

（四）機車軸數：

$$\text{機車軸數 } n = \frac{P}{\Delta P},$$

式中 ΔP —— 容許的軸荷重。

對於一般電傳動內燃機車和43公斤/米鋼軌， $\Delta P \cong 22$ 噸，50公斤/米鋼軌 $\Delta P \cong 25$ 噸；對於液力傳動內燃機車 ΔP 可略大一些；高速客運機車的軸荷重宜較普通客運機車小些。

（五）機車輪徑：

機車輪徑一般是根據機車走行部分的構造情況選自標準尺寸，如1050毫米、1120毫米、1250毫米，原則上動輪直徑應尽可能地小，動輪直徑小可以降低車架高度，以減小車架中梁對車鉤的偏心距和降低整個機車的高度。動輪直徑小還可以減輕機車簧下重量，例如，動輪直徑由1150毫米減為1000毫米，一個四軸機車可減重1.51噸。但動輪直徑不能過小，過小則接觸應力过大。宜取動輪荷重與直徑之比不小于10公斤/毫米。

（六）內燃機車的重量與功率的比值、機車構造速度與計算速度的比值。

內燃機車自重越輕，則用于牽引列車的功率越多，在早期製造的內燃機車單位馬力的自重較大，近來這一比值已有下降到32公斤/馬力，而且今后還有進一步下降的趨勢，但是內燃機車根據其用途必須保證有足夠的粘着重量，不能任意降低。總的來說，這一比值出入很大，有必要討論一下這個問題。

機車發動機額定功率 N_e 與機車重量 P 、計算速度 V_p ，大致可以簡化為下列關係：

$$N_e = \frac{F_p V_p}{270\eta} = \frac{1000 P \psi'_p V_p}{270\eta},$$

式中 F_p —— 持續牽引力，公斤；

V_p —— 限制坡上的速度，公里/小時；

η —— 合成效率；

P —— 機車重量（粘着重量）噸；

ψ'_p —— 對應持續牽引力所取的“粘着系數”。

設 $\eta = 0.75$, $\psi'_p = 0.2$,

$$\text{則 } \frac{1000 P}{N_e} = \frac{1000}{V_p}$$

即機車重量與機車功率之比值，與限制坡上的計算速度 V_p 成反比。

由上面的推導關係式可見，並不是所有機車一概減輕，單位功率的機車重量都是適宜的，而是與機車的計算速度有關，而計算速度又與機車的用途密切相關。因此，根據一般的計算速度的數值範圍，合理的機車重量與功率比值（ $1000 P / N_e$ 公斤/馬力）宜為：

小機車	調車機車	貨運機車	客運機車
100—200	80—100	30—50	20—35

可見對於小機車和調車機車單位功率的重量應大些，一般不存在設法減重的問題，製造上可以盡量使用低級材料。對於貨運機車應適當重視減重問題。對於客運機車則應盡量爭取減少機車重量，因為在旅客列車中，特別是高速旅客列車中，機車重量所占的比重大是很不經濟的。如果在調車機車和貨運機車上採用了中速柴油機（ $\frac{1000 P}{N_e} = 4—6$ ），那麼在客運機車

上就宜采用高速柴油机($\frac{1000P}{N_e} = 2 \sim 3$)了。

机車构造速度与計算速度之比值 $\frac{V_{\max}}{V_p}$, 对机車单位功率的重量 $\frac{P}{N_e}$ 有一定影响。 $\frac{V_{\max}}{V_p}$ 大, 則所需电机电设备的尺寸要大, 或者傳动級数更多, 傳动油冷却面积要大。一般說, 在液力傳动机車上比較容易实现較大的 $\frac{V_{\max}}{V_p}$ 值。 $\frac{V_{\max}}{V_p}$ 大, 有助于提高机車的通用性。 $\frac{V_{\max}}{V_p}$ 应根据机車运用特点来决定, 客貨两用机車的 $\frac{V_{\max}}{V_p}$ 要大, 例如, $V200$ 的 $\frac{V_{\max}}{V_p} = 7$, 調車机車和小机車——6; 客运机車—6~4, 貨运机車—4~5。

第二篇 机車走行部分

第一章 走行部分的構造作用

§ 1. 机車走行部分的任务与組成

内燃机車走行部分主要是用来承受机車上部结构的重量（車架、車体，包括动力装置与多种輔助装置的重量），把电傳动的牵引电动机或液力傳动的万向軸的迴轉功，通过輪对压在鋼軌上轉动产生牵引力，并传递牵引力到車鉤上以牵引列車前进。

内燃机車走行部分由下列主要部分組成：（1）轉向架构架；（2）輪对；（3）軸箱；（4）彈簧装置；（5）橫动装置；（6）傳动机构；（7）基础制动装置；（8）砂箱及其他輔助设备。因而轉向架的組成是走行部分的基本組成內容。

轉向架式机車的車体通过心盘或旁承放在轉向架上（图II-1-1）。

机車在运行时轉向架承受三种力：鉛垂力、纵向力及横向力。

鉛垂力主要是指車体車架、安装在車架上部的重量、轉向架本身的重大，以及在运行时由于垂直振动而引起的附加鉛垂載荷。鉛垂載荷由轉向架构架的側梁經過彈簧傳給軸箱，而后傳到輪对上去的。有二系彈簧裝置的轉向架在鉛垂力傳遞到軸

箱彈簧之前，还要經過一系彈簧裝置或者橡皮金属元件。

纵向力包括牵引力、制动力，是由輪对經軸箱傳給軸箱導框或者軸箱連杆，再由此傳到轉向架构架經過心盘或者一套杠杆系統傳到車架上。

横向力包括离心力、风力、經過曲線时引起的力，以及机車运行时搖头振动傳給轉向架与車体的力，其傳递方式与纵向力相同，只是方向相差 90° 。

轉向架机車由于轉向架軸距較小，容易通过曲線，同时由于心盘間距較大，因而点头振动較小。許多高速机車运用經驗証明了轉向架机車不需要有專門的導軸或不产生牵引力的轉向架，机車轉向架可以全部用动軸。

轉向架的輪对通过不平路时起纵向平衡梁的作用。在同一線路不平度下，車体支点的鉛垂移动量較二軸車要小一半，从而可使动力作用減少一半。

因之，現代大功率内燃机車上，全部是动輪对的轉向架式机車，运用极广。

§ 2. 轉向架的分类

轉向架的型式很多，分类方法不一，为結合現代内燃机車結構可以按照下列方式进行分类：

（一）按照作用分类，内燃机車轉向架可以分为导从輪轉向架与动輪轉向架。

导从輪轉向架是以活动的方式与机車車架相联系的，它主要是用来承受超过内燃机車所必需的粘着重量以外的多余的重量，使内燃机車上部主要結構（車架車体）易于通过曲線。导从輪轉向架多半是用在旧式的内燃机車上，随着近代内燃机車重量日益降低，結構日益改进，导从輪轉向架已經不再采用在現代内燃机車上。

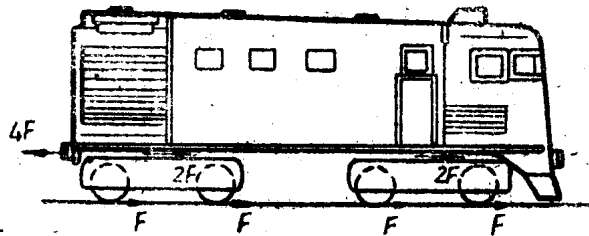


图 II-1-1

动輪轉向架与导从輪轉向架的区别在于轉向架上安装有动輪对的驅动装置（具有軸減速箱的牽引电动机或液力傳動裝置，或机械傳動裝置）。

(二) 按照軸箱安装型式分类，可以分为导框式轉向架与无导框式轉向架。

导框式轉向架是在轉向架构架下部伸出的轉向架脚上安装軸箱导框，軸箱在导框内定位。聯同輪对可以在导框内相对于构架做鉛垂移动。这种型式的轉向架比較普遍，机車車輛均有采用，但結構比較笨重，多用于低速及中速的內燃机車，如苏联的T93 (T93 轉向架見图II—1—2)、我国的巨龙型、先行型。

无导框式轉向架的构架沒有轉向架脚，軸箱用軸箱連杆或其他方式定位，轉向架本身比較輕巧，多用于近代中速及高速內燃机車。

(三) 按照車輪对于构架的相对位置分类，轉向架有外軸箱式和內軸箱式之分。

在外軸箱式中，車輪位于构架里面，由于横梁較长，构架的重量較大，但是外軸箱式有很大好处：1) 单独傳動时，側架之間的距离大，则牽引电动机的尺寸可大，所以外軸箱式有可能大大增加牽引电动机的功率；2) 由于軸箱橫距的增大，增大了机車的横向安定性；3) 外軸箱便于軸箱的检修。在內燃机車上外軸箱采用較广泛。

成組傳動时，宜采用內軸箱式。这时可以将連杆安装在构架外面的車輪的曲柄銷上，或者将傳動齒輪安装在露在构架外面的一段軸上。

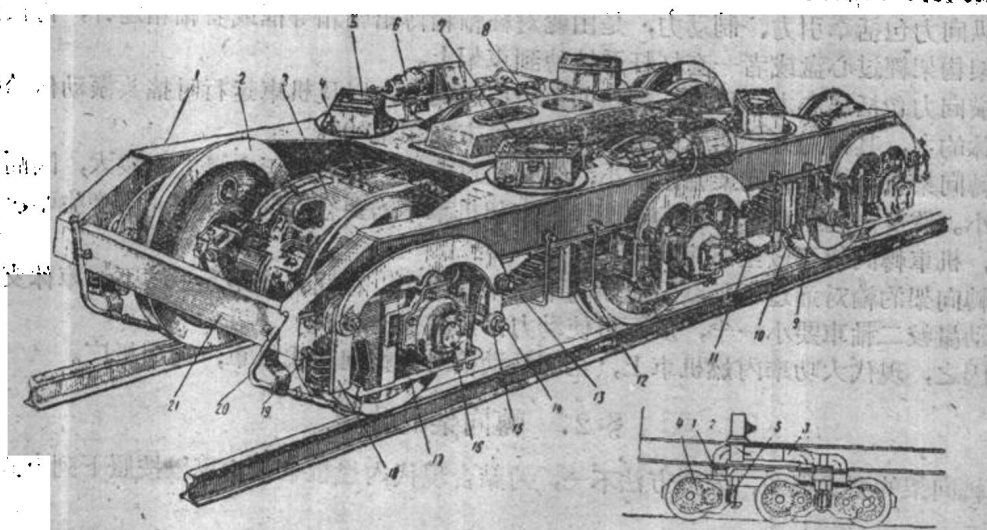
(四) 按照轉向架对于車体的相对运动来分类，又可分为一个自由度与两个自由度的轉向架。

对于車体能够圍繞心盘迴轉的轉向架是一个自由度的轉向架，这种轉向架用得最多，如苏联的T92、T93等內燃机車都是这种轉向架。

对車体有两个自由度的轉向架适用于高速机車，它不仅能圍繞心盘轉動，而且可以相对于車体橫向移动，以緩和鋼軌对車体的横向冲击，如苏联H60型电力机車的三軸轉向架(參看图II—5—8)。

§ 3. 普通轉向架构造作用示例

图II—1—2 所示为苏联T93型轉向架，是三軸、有导框的、一个自由度的轉向架。机



图II—1—2 T93轉向架外形总图。

- 1—轉向架构架； 2—輪对； 3—牽引电动机； 4—牽引电动机冷却空气通道； 5—构架旁承
(下旁承)和复原裝置(即支座复原器)； 6—潤軸； 7—构架旁承油尺； 8—一下心盤(心盤枕梁)；
9—中心盤油杯； 10—潤瓦； 11—制动拉杆螺旋調整器； 12—安全托杆； 13—喷板彈簧；
14—硬脂油閥； 15—喷板弹簧吊杆； 16—軸箱； 17—軸箱托板； 18—彈簧吊杆的豎杆；
19—均衡梁； 20—砂管； 21—端梁。